

УДК 552.4/53.46

ПЕТРОГРАФИЯ

Д. И. ПАВЛОВ

ГАЛИТОВЫЕ АНАТЕКТИТЫ И НЕКОТОРЫЕ ИХ МЕНЕЕ  
МЕТАМОРФИЗОВАННЫЕ АНАЛОГИ

(Представлено академиком Д. С. Коржинским 11 XII 1969)

В петрографической литературе укоренилось представление, что соляные залежи не сохраняются при термодинамометаморфизме и метаморфические эквиваленты галитовых пород неизвестны. Ниже мы постаемся показать, что по крайней мере в частных случаях соляных пород, вскрытых Заярской и Тубинской опорными скважинами (Иркутский амфитеатр), есть все основания таковые выделять.

Разрез усольской свиты нижнего кембрия (интервал по Заярской скважине 2002—2755,5 м) слагается различными по мощности пластами каменной соли, разделенными пачками или слоями карбонатных и сульфатно-карбонатных пород. Суммарная мощность солей свиты 406 м. Толща вмещает два застывших в ней интрузива долеритов, располагающихся на глубинах 2124—2165 и 2603—2706 м. При этом верхний интрузив полностью залегает в солях, нижний же имеет в верхнем контакте соль, а в нижнем трехметровый прослой карбонатно-сульфатных пород, еще ниже сменяющихся солью. Каменная соль имеет вид массивной кристаллической породы. Вблизи долеритов происходит заметное укрупнение кристаллов галита с достижением отдельными индивидами размеров 4—6 см. Но и помимо этого почти весь галит разреза перекристаллизован с преобладанием крупнозернистых разновидностей с размером зерен более 1 см, среди которых попадаются и более мелкозернистые разности. Соли всего разреза отличаются заметной чистотой. Нерастворимый в воде остаток в большинстве образцов не превышает 1%. Это ангидрит, доломит, редкие зерна кварца и рудных минералов (<sup>1</sup>). Для разрезов свиты по другим скважинам Иркутского амфитеатра характерны также слоистые текстуры, обусловленные наличием неравномерно распределенных сезонных прослоек (годовых слоев) тонкозернистого ангидрита или доломито-ангидрита, иногда глинистыми примесями (<sup>2</sup>). В ряде случаев за счет таких примесей галитовые породы приобретают пятнистую текстуру. При перекристаллизации минеральные примеси обычно оттесняются к периферии зерен галита, концентрируясь вдоль границ между ними.

Ранее, сравнивая температуру полной кристаллизации заярских долеритов, которая по ряду признаков не могла быть ниже 950°, с температурой плавления галита (800°), мы, совместно с И. Д. Рябчиковым, пришли к выводу, что внедрение долеритов должно было привести к плавлению солей в приконтактовой зоне. Вывод был подкреплен наблюдениями над характером и распределением газово-жидких включений в галите (<sup>3</sup>). Однако даже в приконтактовых участках солей не было обнаружено никаких новообразований, которые бы однозначно свидетельствовали о метаморфическом воздействии интрузивов \*.

Дальнейшая обработка материала позволила установить в толще каменной соли, примыкающей к верхнему контакту нижнего интрузива, что ап-

\* Карбонатные породы с развитием по ним пород типа скарнов (<sup>3</sup>, <sup>4</sup>) дают такие свидетельства.

гидрит здесь представлен своеобразными округлыми зернами. При больших увеличениях внутри них можно видеть одну или две зоны, выполненные кристалликами галита\*. Зоны следуют округлым контурам зерен. Ангидрит внешних частей зерен имеет тенденцию к образованию прямоугольных ограничений, как то и свойственно кристаллическим формам этого минерала (рис. 1). В шлифах по той же части разреза в галите обнаружены редкие выделения сильвина. Ограничения этих выделений достаточно произвольны, слагаясь из комбинаций линейных спайных элементов галита и

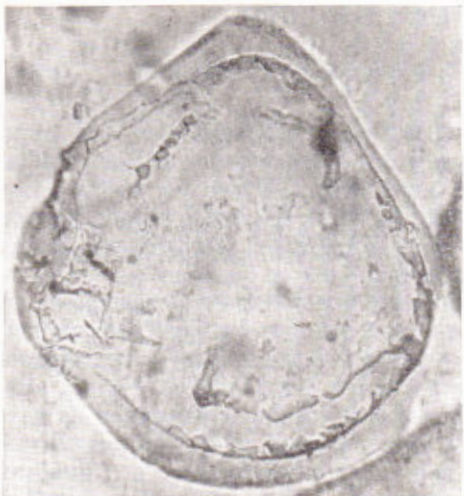


Рис. 1. Зерно ангидрита из нерастворимого остатка соли. Видны внутренние зоны, выполненные галитом. Иммерсионный препарат, 150×, без анализ.



Рис. 2. Галит-амфибол-ангидрит-карбонатная метаморфическая порода. Прозрачный шлиф, 46×, без анализ.

иногда их соединяющих выпуклых поверхностей. Таким образом, сильвии ксеноморфен по отношению к галиту.

Напомним, что температура плавления ангидрита 1450° и сильвина 778°. Однако галитовый расплав способен растворять ангидрит, что даже несколько понижает его температуру плавления (\*). Таким образом, возникновение как бы оплавленных форм ангидрита естественно объяснить некоторым его растворением в расплаве галита. С понижением температуры, после кристаллизации небольших количеств галита, отложившихся на ангидритовых ядрах как на затравках, происходило дорастание кристалла за счет выделения остывающим расплавом остатков растворенного в нем ангидрита. При этом ангидрит частично восстанавливал присущие ему формы. Ксеноморфизм сильвина хорошо соответствует тому, что даже после полного затвердевания галита этот минерал должен был какое-то время оставаться жидким. К тому же само наличие таких выделений, не обнаруженных в солях менее метаморфизованной части разреза, трудно истолковать иначе чем выкристаллизацией из расплава примеси KCl, ранее рассеянной в твердой фазе (содержание  $C_2O$  в характеризуемых галитовых породах — первые десятые процента (см. табл. 1)).

Добавочные критерии для оценки температур вблизи контактов предполагают рассмотрение изменений приконтактовых сульфатно-карбонатных пород. Так, залегающая в ответвлениях верхней интрузии (глубина 2133 м) форстерит-шипинель-серпентиновая порода с ангидритом содержит реликты периклаза (правильные желтоватые кубы с хорошей спайностью

\* Диагностика подтверждена рентгенограммой, снятой для одного такого зерна Г. В. Басовой, где помимо линий ангидрита выявились две наиболее интенсивные линии галита.

по кубу,  $n \sim 1,740$ ), замещаемого бруцитом или мелкой сырью непрозрачного минерала. Карбонаты здесь не сохранились, и порода дезинтегрирована. Расположенная в нижнем контакте нижней интрузии мелкозернистая доломитовая порода имеет пятна сплошной кальцитизации, к которым приурочены выделения шинели (правильные слабо фиолетовые октаэдры,  $n \sim 1,730$ ) и форстерита ( $n_s \sim 1,670$ , прямое погасание).

Периклаз мог быть получен при термической диссоциации доломита, что при давлении в 1000 бар предполагает наличие температур в 790—830° (1). Наибольшее из этих значений относится к случаю, когда газовая фаза целиком составлена  $\text{CO}_2$ , наименьшее — когда половина ее приходится на  $\text{H}_2\text{O}$ . Судя по хорошей сохранности форстерита, лишь небольшая часть которого подверглась замещению серпентином, вряд ли можно ждать здесь заметного влияния водной составляющей. Давление же  $\text{CO}_2$  постоянно поддерживалось диссоциацией карбонатов, продолжавшейся вплоть до их полного разложения.

Второй случай относится к доломитовой породе, залегающей под пластовой интрузией на глубине почти 3 км. Видимо, это как раз те условия, когда термическая диссоциация карбонатов в значительной мере подавлена давлением не находящей себе выхода газовой фазы, роль которой  $\text{H}_2\text{O}$  незначительна. Для подобных условий А. А. Маркушевым (2) намечена приблизительная граница полей устойчивости ассоциаций доломит + диопсид (диопсид — продукт реакции доломита и кварца при более низких параметрах) и форстерит + кальцит для  $P_{\text{CO}_2} = 1000$  атм. При общем давлении на твердые фазы от 1000 до 4000 атм. температура этой границы понижается от 900 до 850°.

Даже при очень осторожном использовании приведенных экспериментальных и термодинамических данных очевидно, что при подходе со стороны карбонатных пород подтверждается существование вблизи контактов обеих интрузий Заярска температур, несколько превышающих 800°.

Совокупность приведенного материала позволяет утверждать существование в приконтактовых областях долеритовых интрузивов, застывших в солях, галитовых расплавах\*. Таким образом, есть все основания говорить и о проплавленных метаморфических породах, эквивалентных галитовым. Замечательно, что при отсутствии в солях примесей (кроме ангидрита и карбонатов) минеральный состав полученных анатектитов идентичен таковому первичных солей. Практически одинаковы и их химические составы (табл. 1, анализы 1 и 2). Разумеется, столь широкий диапазон устойчивости перечисленных минералов может быть осуществлен только в сухой обстановке.

Таблица 1

Химические анализы галитовых пород Заярской и нерастворимого остатка галит-амфибол-ангидрит-карбонатной породы Тубинской опорных скважин

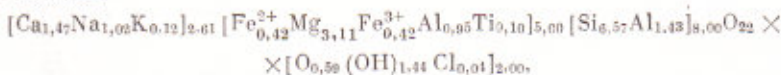
	1	2	3
$\text{SiO}_2$	0,09	0,03	26,40
$\text{TiO}_2$	Сл.	Сл.	0,55
$\text{Al}_2\text{O}_3$	0,00	0,00	8,22
$\text{Fe}_2\text{O}_3$	0,02	0,02	2,28
$\text{FeO}$	0,00	0,00	2,04
$\text{MnO}$	0,00	0,00	Сл.
$\text{MgO}$	0,03	0,05	9,72
$\text{CaO}$	0,43	0,19	22,15
$\text{Na}_2\text{O}$	50,58	51,01	2,10
$\text{K}_2\text{O}$	0,25	0,15	0,38
$\text{H}_2\text{O}^-$	0,00	0,00	0,18
$\text{H}_2\text{O}^+$	0,00	0,00	1,76
$\text{CO}_2$	0,03	0,08	3,10
$\text{SO}_3$	0,38	0,16	21,00
Cl	60,39	60,32	0,10
Сумма	112,20	112,01	99,98
Поправка на Cl	13,82	13,80	0,02
	98,38	98,21	99,96

Примечание. 1 — каменная соль, Заярская скважина, 2602,5 м (0,5 м выше нижнего интрузива); 2 — каменная соль, Заярская скважина, 2378 м (225 м выше нижнего, 213 м ниже верхнего интрузивов); 3 — нерастворимый остаток галит-амфибол-ангидрит-карбонатной породы, Тубинская скважина, 2745 м (29,5 м выше интрузива). Аналитик Н. Н. Никольская.

\* Несмешиваемость расплавов долерита и галита показана экспериментально (3).

Мощность зоны проиравления над нижним телом долеритов Заярска, выделяемой по распространению описанных выше характерных выделений ангидрита и сильвина, оценивается нами приблизительно в 10 м. Переход к следующей, метаморфической зоне, где уже не было плавления соли, достаточно постепенен и условен. Внешне он выражается в уменьшении размеров кристаллов галита, хотя отдельные участки в метаморфической зоне почти так же крупнозернисты, как и в зоне плавления. Для появившихся прослоев кварцодержащих сульфатно-карбонатных пород характерно развитие волластонита, имеющего четкую приуроченность к разного рода трещинным элементам.

Естественно, что и в солях метаморфической зоны новообразования могут возникнуть только при наличии добавочных к сульфату и карбонату примесей. Такие, более явные, галитовые метаморфические породы вскрыты Тубинской опорной скважиной в интервале 2741—2768 м. Ниже располагается шестиметровый интервал мраморизованных известняков, испытавших контактное воздействие расположенных еще ниже долеритов. После проходки 40 м по долеритам скважина была остановлена, нижний их контакт не вскрыт. Макроскопически керн соли из указанного интервала содержит, как то и свойственно распределению глинистых примесей, произвольно сочетающиеся взаимно параллельные прослои и пятна грязно-зеленого цвета. В прозрачном шлифе видно, что цвет их обусловлен наличием хорошо оформленных табличек амфиболя, как бы плавающих вместе с ангидритом и доломитом в галитовой массе (рис. 2). Светлые участки лишены (или почти лишены) амфиболя и представлены перекристаллизованным галитом с небольшой добавкой ангидрита и доломита. Судя по оптическим свойствам ( $n_p \sim 1,662$ ;  $cN_s$  в пределах 15—22°; слабый плеохроизм в желтовато-зеленых тонах), амфибол близок гастигнеситу. Сухой остаток после растворения грязно-зеленой соли в воде был химически проанализирован (табл. 1, анализ 3) и после вычета доломита и ангидрита, составивших соответственно 6,5 и 35,7 вес. % фракции, пересчитан на амфибол состава



что соответствует оптическому определению.

Порода в целом вполне может быть названа галит-амфибол-ангидрит-карбонатной, полученной при контактном метаморфизме галитовой породы, содержащей глинистые и сульфатно-карбонатные примеси.

Рассмотрение конкретного характера метаморфизма нижнекембрийских солей Иркутского амфитеатра под влиянием застывших в них долеритов не только существенно само по себе. Оно имеет значение и для критической оценки представлений о генезисе солей, развиваемых Н. А. Кудрявцевым (\*), который, утверждая, в частности, что отсутствие контактного воздействия заярских диабазов на соль ясно свидетельствует о появлении последней после внедрения диабазов (стр. 164), распространяет свой вывод на всю нижнекембрийскую соляную формацию Сибирской платформы.

Отметим также, что при одновременном с плавлением проявлении текtonических воздействий расплавленная соль вполне может интродуцировать в вышележащие толщи.

Институт геологии рудных месторождений,  
петрографии, минералогии и геохимии

Академия наук СССР

Москва

#### ЦИТИРОВАННАЯ ЛИТЕРАТУРА

- <sup>1</sup> Г. Винклер, Генезис метаморфических пород, 1960, стр. 45. <sup>2</sup> А. А. Иванов, Тр. Всесоюзн. н.-и. геол. инст., нов. сер., 161 (1968). <sup>3</sup> З. А. Кондратьева, З. И. Ипатова, Тр. Всесоюзн. нефт. н.-и. геол.-разв. инст., 198 (1962). <sup>4</sup> Н. А. Кудрявцев, В сборн. Проблемы происхожд. нефти, 1966. <sup>5</sup> А. А. Маракушев, В сборн. Проблемы петрологии и генетич. минералогии, 1, «Наука», 1969. <sup>6</sup> Д. И. Павлов, И. Д. Рябчиков, Изв. АН СССР, сер. геол., № 2 (1968). <sup>7</sup> Я. К. Писарчик, Тр. Всесоюзн. н.-и. геол. инст., нов. сер., 89 (1963). <sup>8</sup> Справочник по плавкости солевых систем, 2, Изд. АН СССР, 1961.

Поступило  
14 XI 1969